

波浪推算法に関する数値的検討

第三港湾建設局 神戸調査設計事務所 正員 宏瀬宗一

1. はじめに

最近、欧米諸国はもとより、我が國においても波浪推算法に関するワークショップが開催されており、いろいろな成果が得られております。これらのワークショップにおいて、¹⁾ Vassellmann²⁾によるエネルギーの平長波項Q₁、非線形相互作用の項Q₂、及³⁾ 平衡方程式に含まれるSource Function⁴⁾による碎波による減衰の項Q₃から構成されます。議論がそのまま流れを止めてしまう。とりわけ、波の干渉、流れの取扱いの問題などについて。

本稿では、波浪の実測値に基づいて提案された⁵⁾ fetch-limited と duration-limited の場合の波浪の発達式と比較することにより、既存の成果を参考にして作成した波浪推算モデルを紹介すると共に、数値的検討を行ってます。増幅係数であり、B'及びQ₅は⁶⁾ Inoue⁷⁾による増幅係数、碎波による減衰項である。

2. 波浪推算モデル

本稿で紹介する波浪推算モデルはエネルギーの平衡方程式に基づくものであり、基本式用います。
以下に示す通りである。

$$\frac{\partial \delta}{\partial t} + \frac{\partial}{\partial x} (\delta u) + \frac{\partial}{\partial y} (\delta v) + \frac{\partial}{\partial \varphi} (\delta w) = Q \quad (1)$$

$\Rightarrow K$,

$$u = n C \cos \varphi$$

$$v = n C \sin \varphi$$

$$w = n \left(\frac{\partial C}{\partial x} \sin \varphi - \frac{\partial C}{\partial y} \cos \varphi \right)$$

(1)式におけるQは、Source Functionと呼ばれる法を採用してます。この際、(1)式中のPとされ、エネルギーの授受に関するすべてのSource項については時間的に連続性を保つため、Rece⁸⁾と舍みます。Sはスペクトルであり、 φ は波向⁹⁾を示す角度で、nはステップ¹⁰⁾の位相速度である。また、

$$C = \frac{g}{k} (\tanh kD)^{1/2}$$

$$n = \frac{1}{2} (1 + 2kD / \sinh 2kD)$$

$$\omega^2 = gk \tanh kD \quad (4)$$

$\Rightarrow K$, gは重力加速度、kは波数、Dは水深である。

Q₁は、風による発達及び碎波による減衰を表す項Q₁、非線形相互作用の項Q₂、及¹¹⁾ 平衡方程式に含まれるSource Functionによる碎波による減衰の項Q₃から構成されます。議論がそのまま流れを止めてしまう。とりわけ、波の干渉、流れの取扱いの問題などについて。

$$Q = Q_1 + Q_2 + Q_3 \quad (5)$$

Q₁は、Sの飽和スペクトル¹²⁾を越えないと

$$Q_1 = (A + BS) (1 - (\frac{S}{S_\infty})^2) \quad (6)$$

$\Rightarrow K$, S_∞を越えれば、

$$Q_1 = A + B'S + Q_5 \quad (7)$$

Q₂は採用する時だけQ₂を別途考慮します。これには¹³⁾ Barnettによる次式¹⁴⁾が示されています。これは¹⁵⁾ Inoue¹⁶⁾による増幅係数、碎波による減衰項である。

(7)式を採用する時だけQ₂を別途考慮します。

$$Q_2 = P - CS \quad (8)$$

逆風による減衰項Q₃は(1)式の本稿¹⁷⁾の検討¹⁸⁾においては重要でないが、 $\Rightarrow K$ は暫定的に次式¹⁹⁾を用います。

$$Q_3 = -BS \quad (9)$$

実際の計算²⁰⁾によると、(1)式を数値的²¹⁾解く試みたところ、 $\Rightarrow K$ は explicit 形²²⁾の差分

式²³⁾であるが、(1)式を explicit 形²⁴⁾の差分式²⁵⁾と同様に²⁶⁾、n-ステップ²⁷⁾と(n+1)-ステップ²⁸⁾の値の間で次式²⁹⁾を用います

$$(2) \quad \text{半滑化} \Rightarrow K \Rightarrow K \quad \text{すなわち},$$

$$(3) \quad P^{n+1} = P^{n+1} + (P^{n+1} - P^n) / 2 \quad (10)$$

$$T^{n+1} = T^n + (C^{n+1} - C^n)/2 \quad (11)$$

次のモーメント, Fetch-Etch, t吹送時
エネルギーの伝播計算は、図-1を用いて行なう。

JK, 各格子点で半径 $Cg \cdot \Delta t$ の円を描き、各タームステップごとの位置が図中の X に入ると、 i のエネルギーは i と $(i+1)$ のエネルギー差となる。果たす。図-2 及び図-3 にて、数値計算結果は A_2 の状態の時は i と $(i+1)$ のエネルギー差で、これ近い提案式に近い。一方、図-3 にて $1/2$ が $(i+1) \Delta t$ と、 $(i+1)$ から前方 $Cg \cdot \Delta t$ までは i のエネルギーが i と $(i+1)$ へ移行するものとした。

したがって、前述の S_{∞} をして、Pierson-Moskowitzスペクトル¹⁾を、方向分布周波数として $\cos^2 \theta$ 型を採用してある。

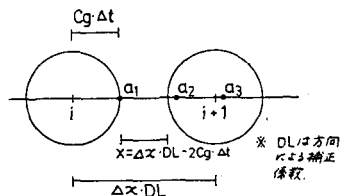


図-1

波浪の伝播
スキーム

[参考文献] 1) Hasselmann, K. 1962 : J. F. M., 12, 2) Inoue, T. 1967 : Tech. Rept. 67-5, New York Univ., 3) Hasselmann, K. 1964 :

Bound.-Layer Meteor. 6, 4) Barnett, T.P. :

J.G.R. 73, 5) Resio, D. T. & Vincent, C. L. 1977 : H-77-9, U.S. Army Eng. Waterways Exp. St., 6) Pierson, W. J. & Moskowitz, L. 1964 : J.G.R. 69. 7) Amoroch, & De Vries 1980 : J.G.R. 84, 8)

3. 数値計算結果

図-2, Fetch-limited 及び Duration-limited のいずれかに対する、風速 20 m/s 及び 30 m/s の一様風場に対する(1)式と数値的に解いた結果を示す。風速 U と摩擦速度 U_* の関係式として Amoroch & De Vries⁷⁾ 及び提案式を採用した。

数値計算結果の比較に際し、先方⁸⁾及 U^* Hasselmann et al.⁹⁾ 及び周波数の発達式を用いた。また、 U と U_* の関係式は(2)式と Amoroch & De Vries⁷⁾ 及び提案式をベースとしたものである。以上の上述の発達式は M のようなく書き換えた。

Fetch-limited の式は、

$$M : g\sqrt{m_0}/U_*^2 = 0.0104 (gF/U_*^2)^{0.504} \quad (2)$$

$$H : g\sqrt{m_0}/U_*^2 = 0.00796 (gF/U_*^2)^{0.5} \quad (3)$$

一方、Duration-limited の式は、

$$M : g\sqrt{m_0}/U_*^2 = 9.76 \times 10^{-5} (gt/U_*)^{1.21} \quad (4)$$

$$H : g\sqrt{m_0}/U_*^2 = 1.04 \times 10^{-3} (gt/U_*)^{0.714} \quad (5)$$

(2)～(5)式について、 m_0 はスペクトルの 0

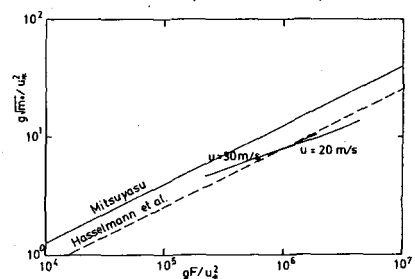


図-2 Fetch-limited case

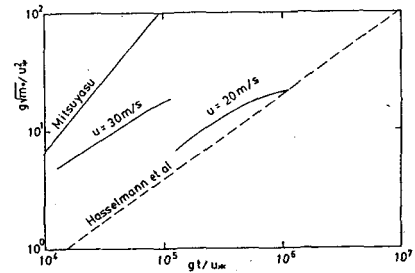


図-3 Duration-limited case